

ІЗОВЕКТОРНІ l -ЗАБОРОНЕНИ МАГНІТНІ ДИПОЛЬНІ ПЕРЕХОДИ В ЯДРІ ^{31}P

О.М.Водін, І.В.Ушаков

Національний науковий центр "Харківський фізико-технічний інститут",
бул. Академічна, 1, Харків, 61108
e-mail: ushakov@kipt.kharkov.ua

Проведено експериментальні дослідження γ -розпаду ізобар-аналогових резонансів у реакції $^{30}\text{Si}(\text{p},\gamma)^{31}\text{P}$ при $E_{\text{p}} = 760, 1490$ та 2010 кеВ. Побудовано схеми розпаду зазначених резонансів та визначено їх парціальні γ -ширини Γ_{γ} . Вимірюють кутові розподіли γ -променів під кутами $\theta_{\text{лаб}} = 0, 30, 45, 60$ та 90° відносно напряму пучка протонів та проведено їх аналіз. На підставі отриманих даних проведено розрахунок імовірності $M1$ -переходів у антианалоговий стан та l -заборонених $M1$ -переходів з $\Delta T = 1$. Зроблено висновок про механізм зняття l -заборони, обумовлений вкладом колективних ефектів у процес формування повної γ -ширини розпаду аналогових резонансів.

Вступ

У теперішній час розвиток дослідження аналогових резонансів (AP) значною мірою залежить від вивчення різних каналів їх γ -розпаду, дані про які необхідні для подальшого з'ясування ролі зарядової залежності ядерних сил у механізмі змішування станів за ізоспіном у ядрах, а також для вдосконалення мікрокопічної теорії AP [1]. Серед таких γ -переходів особливе місце займають переходи, які заборонені за квантовими числами, що робить їх гарним інструментом для перевірки існуючих та апробації нових теоретичних підходів до опису ядер. До таких γ -переходів належать l -заборонені $M1$ -переходи в ядрах.

Ізоскалярні l -заборонені $M1$ -переходи з низькозбуджених станів без зміни їх ізоспіну $\Delta T = 0$ до нинішнього часу досліджувалися різними групами [2-4] та посилання в них]. Однак, попередній аналіз експериментальних даних, наведений в [5], дозволяє з упевненістю сказати, що серед $M1$ -переходів також виділяється друга група – ізовекторні l -заборонені $M1$ -переходи, тобто при яких ізоспін

$T_> = T_0 + 1/2$ почкового та $T_< = T_0 - 1/2$ кінцевого станів ядра змінюється на одиницю (T_0 – ізоспін остаткового ядра). Але фрагментарний характер спектроскопічних даних для цих переходів не дозволяє зробити однозначних висновків відносно механізму зняття l -заборони, що викликає потребу у вивченні такого каналу γ -розпаду AP у широкій області масових чисел ядер.

У даній роботі проведено дослідження ізовекторних l -заборонених $M1$ -переходів як одного з каналів γ -розпаду аналогових станів (AC) в ядрі ^{31}P . У зв'язку з цим було вивчено функцію збудження реакції $^{30}\text{Si}(\text{p},\gamma)^{31}\text{P}$ в області AP, які спостерігаються при енергії протонів $E_{\text{p}} = 760, 1490$ та 2010 кеВ, побудовано схеми радіаційного розпаду AC та вимірюють кутові розподіли γ -променів, що виникають при їх розпаді. У результаті отримано експериментальний розподіл парціальних радіаційних ширин Γ_{γ} розпаду AC, які потім порівнювалися з висновками одночастинкової моделі оболонок з поверхневими б-силами [6]. Виявлено особливості γ -розпаду AC в ^{31}P та проведено на якісному рівні їх інтерпретацію.

1. Методика експерименту

Дослідження виконані на електростатичному прискорювачі протонів ЕСП-4 ННЦ ХФПІ. Прискорені протони з енергетичним розкидом 400 еВ відхилялися на 90° через аналізуючий магніт і після проходження системи юстуючих діафрагм бомбардували мішень, встановлену під кутом 45° в камері розсіювання, яка була одночасно й циліндром Фарадея. Струм протонів на мішенні становив 15 мА, і через велику щільність енерговиділення мішень охолоджувалась потоком води з високою турбулентністю. У експериментах застосовувалась ізотопна мішень ^{30}Si , виготовлена методом “вбивання” іонів $^{30}\text{Si}^+$ у танталову підкладку безпосередньо в електромагнітному сепараторі [7]. Товщина мішенні становила ~ 4 кеВ при енергії протонів $E_p = 2,0$ МеВ. Присутність у підкладці ^{19}F не виявила помітного впливу на результати експерименту.

Гамма-спектри реєструвались Ge(Li)-детектором об’ємом 63 см³ і енергетичним розділенням 3,0 кеВ для γ -ліній ^{60}Co . Абсолютне калібрування спектрометра за ефективністю проводилося за допомогою стандартного набору монохроматичних джерел ОСГД-II і за виходами γ -ліній з реакції $^{27}\text{Al}(p,\gamma)^{28}\text{Si}$ при $E_p = 991,86 \pm 0,03$ кеВ.

Для того, щоб послабити низькоенергетичний фон γ -випромінювання з підкладки, Ge(Li)-детектор розміщувався у спеціальному захисті, який був зроблений з Pb та Cu.

Кутові розподіли γ -променів, які виникають при розпаді резонансних станів ядра ^{31}P , вимірювалися під кутами $\theta_{\text{лаб}} = 0, 30, 45, 60$ та 90° відносно напрямку пучка протонів. Для моніторингу γ -випромінювання застосовувався інтегратор струму і додатково спектрометр на базі кристала NaI(Tl) розмірами $\varnothing 150 \times 100$ мм². Цей же детектор застосовувався для вимірювання функції збудження в реакції $^{30}\text{Si}(p,\gamma)^{31}\text{P}$. Досліди проводилися на спектрометричному обладнанні, виконаному в стандарті “КАМАК” і працює “на лінії” з ЕОМ типу IBM PC 386.

2. Обговорення результатів

Виміряну функцію збудження реакції $^{30}\text{Si}(p,\gamma)^{31}\text{P}$ в області енергії протонів $E_p = 750$ –1520, 2010 та 2187 кеВ показано на рис.1. Досліди проведено з різними порогами дискримінації для енергії γ -квантів ($E_\gamma > 2,61$ та $E_\gamma > 6,13$ МеВ), які реєструвалися кристалом NaI(Tl) під кутом

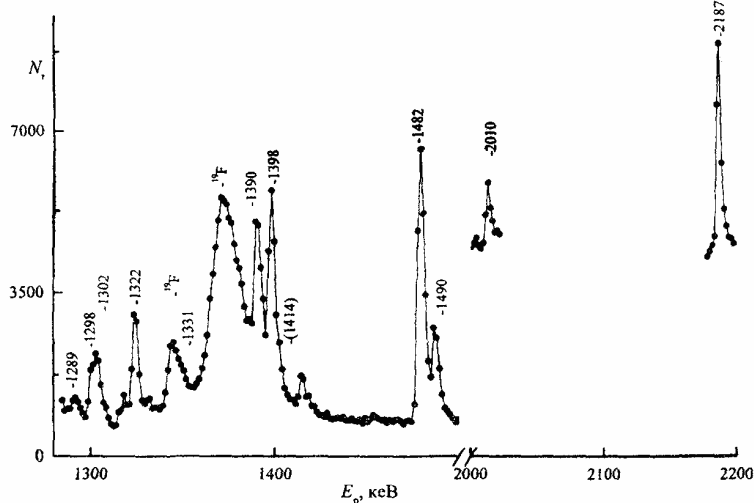


Рис. 1. Функція збудження реакції $^{30}\text{Si}(p,\gamma)^{31}\text{P}$ в області енергії протонів $E_p = 1280$ –1540 та 1750–2200 кеВ. $\theta_{\text{лаб}} = 55^\circ$. Реєструвалися γ -промені з $E_\gamma > 2,6$ МеВ.

$\theta_{\text{лаб}} = 55^\circ$ відносно напряму пучка протонів. Вимірювання проводилися з кроком $\Delta E_p = 0,8$ кеВ. У досліджуваній області енергії встановлено положення 16 резонансів, ідентифікованих як збуджені стани ядра ^{31}P . При цьому Q реакції приймалося рівним $7296,61(20)$ кеВ. Отримані нами результати гарно узгоджуються з даними, поданими в огляді [8].

Таблиця 1.

Радіаційні ширини резонансів у реакції $^{30}\text{Si}(\text{p},\gamma)^{31}\text{P}$

$E_p^{1)}$, кеВ	E^* , МeВ	S , eВ	Γ_γ , eВ
760	8,033	0,20	$\geq 0,033$
835	8,105	0,44	$\geq 0,073$
1289	8,544	0,32	0,16
1298	8,552	1,3	0,65
1301	8,555	1,0	0,25
1322	8,576	2,3	0,40
1331	8,584	0,31	0,16
1348	8,601	0,11	$\geq 0,018$
1390	8,641	3,5	0,66
1398	8,649	4,4	$\geq 1,1$
1482 ²⁾	8,730	8,0	
1490	8,738	2,0(6)	0,5(2)
1507	8,754	0,07	$\geq 0,04$
1510	8,757	3,5	0,72
1516	8,763	0,8	0,4
2010	9,241	2,0(6)	0,50(5)

Примітка:

¹⁾ значення E_p вказані з точністю ± 1 кеВ,

²⁾ дублет (див. докладно в [13]).

Для визначення абсолютноого виходу γ -квантів з реакції $^{30}\text{Si}(\text{p},\gamma)^{31}\text{P}$ було прове-

дено порівняння досліджуваних виходів резонансів з виходом резонансу при $E_p = 2187$ кеВ, сила якого відома з високою точністю [9] та дорівнює:

$$S = (2J + 1) \frac{\Gamma_p \Gamma_\gamma}{\Gamma} = 5,0 \pm 0,3 \text{ eВ}, \quad (1)$$

де J – спін резонансного стану, Γ_p та Γ_γ – протонна та радіаційна парціальні ширини резонансу, Γ – повна ширина резонансу. Отримані таким чином сили резонансів S подано в табл. 1, в якій також наведено відповідні значення Γ_γ , обчислені з урахуванням даних з пружного розсіювання протонів ядрами ^{30}Si [10]. У тому випадку, якщо не відома протонна ширина Γ_p резонансного рівня, припускалося, що $\Gamma_p \gg \Gamma_\gamma$ і в табл. 1 показано нижню границю значення величини Γ_γ .

Схеми розпаду резонансів при $E_p = 760, 1490$ та 2010 кеВ будувалися на підставі балансу енергій та інтенсивностей для спостережуваних γ -переходів з урахуванням усіх відомих даних про рівні ^{31}P . Різні варіанти схем γ -розпаду досліджуваних резонансів запропоновано у [11,12], але найбільш докладні відомості про коефіцієнти розгалуження $b(\gamma)$ отримано в [13]. Наші дані підтверджують результати [13] та дозволяють додатково виявити слабкі γ -переходи у розпаді резонансу при $E_p = 1490$ кеВ на рівні з $E^* = 4,261(3/2^+); 6,461(5/2^+); 6,594(3/2^-)$ та, можливо, $5,988(3/2^-)$ МeВ (в каскаді $r \rightarrow 5,988 \rightarrow 2,234$ МeВ нижній γ -перехід однозначно не встановлено). Верхня границя інтенсивності для цих переходів $I_\gamma < 1\%$. Запропоновані схеми розпаду резонансів при $E_p = 760, 1490$ та 2010 кеВ приведені у вигляді коефіцієнтів розгалуження $b(\gamma)$ в табл. 2, де також показано схеми розпаду рівнів з $E^* = 6,381(3/2^+)$ та $7,141(1/2^+)$ МeВ [13], які необхідні для подальшого розгляду.

E_f^* , MeB	$2J_f^\pi$	E_p (кеВ); E_i^* (МeВ); $2J_i^\pi$				
		6,381	7,141	760	1490	2010
		3^+	1^+	$5^{(+)}$	3^+	3^+
0	1^+	11	84	3	4	30
1,266	3^+	11	16	18	7	1
2,234	5^+	54		4	8	21
3,134	1^+				9	6
3,295	5^+	12		4	37	1
3,415	7^+	<2		8		
3,506	3^+		21	3	3	
4,190	5^+		24			2
4,261	3^+		2	<1	4	
4,431	7^-		2			
4,594	3^+		3	1	1	
4,634	7^+		3			
4,783	5^+		5	12	16	
5,0149	3		1			
5,015	1			13	7	
5,115	5^+			1	5	
5,256	1^+			1		
5,529	7^+ (5^+)		2			
5,559	3^+			4	3	
5,672	5				1	
(5,988)	3^-			<1		
6,461	5^+			<1		
6,496	3^-				1	
6,594	3^-			<1		
6,610	3^-				1	

Таблиця 3. Ізовекторні l -заборонені $M1$ -переходи в ядрі ${}^{31}\text{P}$

$E_i^* \rightarrow E_f^*$, MeB	$(lj)_i \rightarrow (lj)_f$	$\Gamma_\gamma, 10^2 \text{ eB}$	$\delta \pm \Delta\delta$	$B(M1), 10^2 \mu_N^2$	F_M
6,381 → 0	$d_{3/2} \rightarrow s_{1/2}$	>2	(0)	>0,4	<500
7,141 → 1,266	$s_{1/2} \rightarrow d_{3/2}$	46(5)	(0)	20(2)	8,8(9)
8,033 → 3,415	$d_{5/2} \rightarrow g_{7/2}$	$\geq 0,3$	0,10(8)	>0,3	<650
→ 4634	→ $g_{7/2}$	$\geq 0,1$	0,03(8)	>0,3	<600
→ 5529	→ $g_{7/2}$	$\geq 0,1$	0,17(15)	>0,4	<400
8738 → 0	$d_{3/2} \rightarrow s_{1/2}$	2,0(5)	0,20(7)	0,29(7)	567(140)
→ 3134	→ $s_{1/2}$	4,6(11)	-20(14)	2,6(5)	65(13)
→ 5256	→ $s_{1/2}$	0,5(1)	0,15(10)	1,1(3)	150(40)
9241 → 0	$d_{3/2} \rightarrow s_{1/2}$	17(3)	0,04(3)	2,1(4)	79(16)
→ 3134	→ $s_{1/2}$	3(1)	0,7(5)	1,3(3)	129(26)

Для обчислення зведеніх імовірностей прямих γ -переходів необхідні дані про параметри змішування за мультипольностями δ . У зв'язку з цим було вимірюно кутові розподіли γ -променів та на підставі їх аналізу визначено значення δ . Функція кутової кореляції шукалась у вигляді розкладу за парними поліномами Лежандра

$$W(\theta) = 1 + a_2 P_2(\cos \theta) + a_4 P_4(\cos \theta), \quad (2)$$

де коефіцієнти a_2 та a_4 залежать від кутових моментів початкового та кінцевого станів і параметра δ . Знайдені за методом найменших квадратів коефіцієнти a_2 та a_4 порівнювалися з їх теоретичними значеннями для різних гіпотез про спін J резонансного рівня та відповідним йому значенням δ за допомогою критерію χ^2 . Комбінація J та δ відкидалась, якщо отримане значення $\chi^2 \equiv \chi^2_{\min}$ перевищувало можливу 0,1%-границю. Визначені таким чином значення параметра δ показано в табл. 3.

На підставі всієї сукупності отриманих даних було визначено експериментальні значення парціальних радіаційних ширин Γ_γ розпаду АР.

3. Гамма-розділ аналогових станів у ^{31}P

Аналіз літературних та отриманих нами експериментальних даних дозволив ідентифікувати (а в деяких випадках підтвердити) в ^{31}P ізобаричні аналоги для п'яти материнських рівнів ядра ^{31}Si . Гамма-розділ АС в ^{31}P демонструє ряд цікавих особливостей. Нижче в цьому розділі ми обговоримо ці особливості та наведемо їх інтерпретацію.

3.1. $M1$ -перехід в антианалоговий стан

Ізобаричний аналог до основного стану ядра ^{31}Si ідентифіковано в реакції $(^3\text{He}, \text{d})$ [8] при $E^* = 6,381$ МeВ. Спостерігається ізоспінове розщеплення розглянутого одночастинкового рівня на компоненти $T_> = 3/2$ та $T_< = 1/2$, яке спричиняється взаємодією вигляду $\frac{V_1}{A} t \cdot T_0$ [14], де t – ізоспін частинки, а A – масове число. Енергетичне положення $T_<$ -рівня (антианалоговий стан (AAC)) випливає з виразу

$$E_{T_>} - E_{T_<} = \frac{V_1}{A} (T_0 + 1/2), \quad (3)$$

де $V_1 \approx 100$ МeВ. Антианалоговим станом може бути тільки рівень $E^* = 1,266$ МeВ, на який припадає основна частина одночастинкової конфігурації $1d_{3/2}$ з $T_< = 1/2$ в ^{31}P (спектроскопічний фактор $S_p = 0,53$ [8]). Зведена імовірність γ -перехіду АС \rightarrow AAC дорівнює $B(M1) > 0,5 \cdot 10^{-2} \mu_N^2$, тобто даний $M1$ -перехід затриманий у порівнянні з одночастинковою оцінкою [6] на порядок.

Особливістю γ -розділу аналогового $1d_{3/2}$ -резонансу є інтенсивний $M1$ -перехід на основний стан ($J^\pi = 1/2^+$) ядра ^{31}P , який суверо заборонений за l в одночастинковій моделі оболонок, оскільки $\Delta l = 2$ (l -заборонений $M1$ -перехід типу $1d_{3/2} \rightarrow 2s_{1/2}$). Швидкість γ -перехіду $r \rightarrow 0$ МeВ дорівнює $B(M1) > 0,5 \cdot 10^{-2} \mu_N^2$.

Стан з $E^* = 7,141$ МeВ у ^{31}P , який спостерігається в реакції зрыву протона з відносно великим перерізом, ідентифіковано як ізобаричний аналог до першого рівня ядра ^{31}Si . Антианалоговим станом, відповідно до (3), є основний стан, на який припадає основна частина протонної конфігурації $2s_{1/2}$ з $T_< = 1/2$ в ^{31}P ($S_p = 0,81$ [8]). Інтенсивність $M1$ -перехіду типу $(2s_{1/2}, T_> = 3/2) \rightarrow (2s_{1/2}, T_< = 1/2)$ дорівнює $0,47(5) \mu_N^2$, що більше ніж у 6 разів менше за одночастинкове значення $B(M1) = 3,47 \mu_N^2$.

В області енергії протонів $E_p \approx 1450$ кeВ, оціненої за формулою:

$$E_p^{c.u.m.} = \Delta E_c - B_n + E^* \quad (4)$$

(ΔE_c – кулонівська енергія зміщення, B_n – енергія зв'язку нейтрона та E^* – енергія збудження рівня в материнському ядрі ^{31}Si) для $1d_{3/2}$ -резонансу, спостерігається інтенсивний резонанс при $E_p = 1490$ кeВ з квантовими числами $J^\pi = 3/2^+$. Одночастинкова протонна конфігурація $d_{3/2}$ з $T_< = 1/2$ (антианалоговий стан) розподілена по кількох рівнях (див. табл. 2), хоча основна її частка припадає на стан з $E^* = 1,266$ МeВ ($S = 0,69$ [8]). Експериментальна імовірність $M1$ -перехіду ($d_{3/2}, T_> = 3/2) \rightarrow (d_{3/2}, T_< = 1/2)$ узгоджується в межах статистичних похибок з одночастинковою оцінкою $B(M1)^{\text{teor}} = 0,091 \mu_N^2$ [6]; сумарна зведенна імовірність прямих γ -перехідів на рівні $J^\pi = 3/2^+$ дорівнює $B(M1) = 0,08(2) \mu_N^2$. Однак з урахуванням поправки на спектроскопічний фактор для стану 8,738 МeВ ($S_p = 0,02$ [8]) експериментальне значення $B(M1)$ для даного γ -перехіду перевищує теоретичне [6] у декілька разів. Спостережувана розбіжність із одночастинковою моделлю обумовлена змішуванням конфігурацій AAC та стану типу поляризації остова [16], домішок якого підсилює $M1$ -перехід в антианалоговий стан.

В області енергії протонів $E_p \approx 1900$ кeВ, очікуваної відповідно до (4) для ізо-

баричного аналога материнського рівня $E^* = 2,789$ MeВ, спостерігається інтенсивний резонанс при $E_p = 2010$ keВ з квантовими числами $J^\pi = 3/2^+$. Антианалоговим станом є рівень $E = 2,982$ MeВ, на який припадає основна частка (48% [8]) конфігурації $d_{3/2}$ з $T_< = 1/2$ в ^{31}P . Експериментальна інтенсивність $M1$ -переходу типу $(d_{3/2}, T_> = 3/2) \rightarrow (d_{3/2}, T_< = 1/2)$ узгоджується за порядком величини з передбаченням одночастинкової моделі оболонок [6]. Сумарна зведена імовірність прямих γ -переходів на рівні $J^\pi = 3/2^+$ дорівнює $B(M1) = 0,52(3) \mu_N^2$.

3.2. Ізовекторні l -заборонені $M1$ -переходи

Серед спостережуваних γ -каналів розпаду АС є ізовекторні l -заборонені $M1$ -переходи, при яких ізоспін початкового $T_> = T_0 + 1/2$ та кінцевого $T_< = T_0 - 1/2$ станів змінюється на одиницю. Їх інтенсивність у ряді випадків порівнянна за порядком величини з інтенсивністю одночастинкових $M1$ -переходів між аналоговим та антианалоговим станами. Для кількісного визначення ступеня затримки l -заборонених $M1$ -переходів у порівнянні з одночастинковими оцінками використовувався фактор заборони, стандартне формулювання якого має вигляд [3]:

$$F_M = \frac{B(M1)^{\text{теор}}}{B(M1)^{\text{експ}}}.$$
 (5)

Оцінка величини $B(M1)^{\text{теор}}$ проводилася за формулами Мошковського, в яких враховується відмінність значень магнітного моменту протона та нейтрона. При цьому було зроблено припущення, що статистичний множник $S(J_i, L, J_f) = 1$, оскільки розглядаються γ -переходи, заборонені по l в одночастинкової моделі оболонок. У такому наближенні маємо [14]:

$$B(M1)^{\text{теор}} = \frac{1}{\pi} M_\mu \mu_N^2,$$
 (6)

де для переходів типу $l \pm 1/2 \leftrightarrow l \mp 1/2$ значення

$$M_\mu = (\mu - \frac{1}{2} g_l)^2.$$
 (7)

Тут μ – магнітний момент нуклона; g_l – орбітальне гіромагнітне відношення.

Отриману спектроскопічну інформацію відносно l -заборонених $M1$ -переходів у ядрі ^{31}P наведено в табл.3.

Ідентифіковано два типи $M1$ -переходів, інтенсивності яких порівнянні за порядком величини з інтенсивностями дозволених одночастинкових $M1$ -переходів. До першого типу належать $M1$ -переходи типу $\text{AC} \rightarrow 0$ ($J^\pi = 1/2^+$). Походження таких переходів обумовлено тим, що у формуванні повної радіаційної ширини АР бере участь гігантський $M1$ -резонанс, центр ваги ($E_{\text{цв}} = 40 \cdot A^{-1/3}$ MeВ) якого розташовано в області енергії збудження ізобар-аналогових станів у ядрі ^{31}P . Присутність, наприклад, в $1d_{3/2}$ -резонансі колективної компоненти можна підтвердити таким чином. Ядро ^{31}Si зазнає β^- -розділу Гамова-Теллера на основний стан ядра ^{31}P зі значенням $lgft = 5,52$ [8]. Це дозволяє провести порівняння експериментальної імовірності $\Lambda(M1)$ для γ -переходу $\text{AC} \rightarrow 0$ та відповідної імовірності $\Lambda(GT)$ для β^- -переходу. Величини $\Lambda(M1)$ і $\Lambda(GT)$ пов'язані співвідношенням [16]

$$\Lambda(M1) = 7,4 \Lambda(GT),$$
 (8)

у припущення, що $1d_{3/2}$ -резонанс – чистий $T_> = 3/2$ -резонанс і величина $\Lambda(M1)$ визначається тільки спіновою частиною (σ -частиною) оператора $M1$ -переходу. Експериментальне значення $\Lambda(M1)_\gamma = 0,50 \cdot 10^{-2} \mu_N^2$ для γ -переходу $\text{AC} \rightarrow 0$, у той час як значення $\Lambda(M1)_\beta$, обчислене за формулою (8) дорівнює $0,57 \cdot 10^{-3} \mu_N^2$. Спостережена значна розбіжність значень $\Lambda(M1)_\gamma$ та $\Lambda(M1)_\beta$ підтверджує значний вклад орбітальної частини (l -частини) у імовірність $M1$ -переходу $\text{AC} \rightarrow 0$, пов'язаної з впливом колективних ефектів на процес формування γ -ширини розпаду аналогового $1d_{3/2}$ -резонансу в основний стан ^{31}P .

До другого типу належать $M1$ -переходи з АР на збуджені рівні ^{31}P , які можна віднести до станів типу поляризації остова [17]. Дійсно, γ -переходи на ці стани можливі, оскільки кожний АР має у своїй конфігурації $[(s_{1/2}^2)_{01} l_j]_{J,T}$ відповідний l_j -нуклон, зв'язаний з двома $2s_{1/2}$ нейtronами, спарованими в $(J_0 T_0) = (01)$ поверх інертного остова ^{28}Si . Тоді перехід остова з $(s_{1/2}^2)_{01}$ на $(s_{1/2}^2)_{10}$ можливий, і в цьому випадку ймовірність $M1$ -переходу велика (відповідно [6]) через те, що перехід включає $s_{1/2}$ -частинку. При цьому відбувається $M1$ -перехід остов-остов без зміни стану непарного l_j -нуклона. Цей висновок ілюструє рис. 2, де наведено розподіл величин $B(M1)$ для прямих переходів з аналогового $d_{3/2}$ -стану. Видно, що найбільш інтенсивно заселяються високозбуджені рівні ^{31}P , центр тяжіння яких лежить при $E^* \approx 4,41$ MeВ. Максимум у розподілі імовірностей прямих $M1$ -переходів з АС обумовлений заселенням стану типу поляризації остова з $B(M1) = 0,31(9) \mu_N^2$. Стан поляризації остова фрагментований по спектру ядра ^{31}P та лежить в області енергій, очікуваних з

квазікласичних оцінок [17]. У зв'язку з цим можна стверджувати, що інтенсивний l -заборонений $M1$ -перехід на рівень $5,015(1/2^+)$ MeВ обумовлений збудженням стану типу поляризації остова у процесі γ -розпаду даного АР.

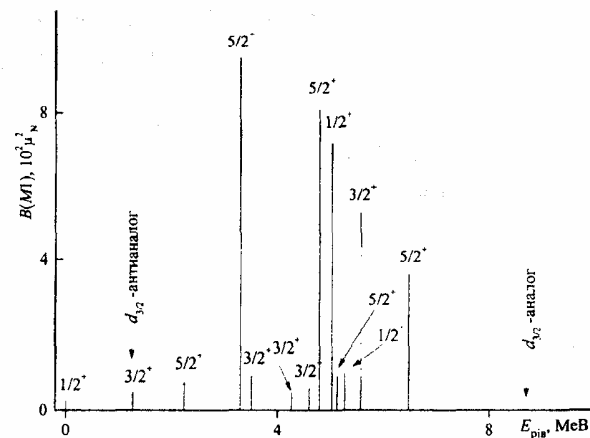


Рис. 2. Розподіл величин $B(M1)$ для прямих переходів з аналогового $d_{3/2}$ -стану на рівні ^{31}P .

Таким чином, слід заключити, що l -забороні $M1$ -переходи в ядрі ^{31}P здійснюються за рахунок змішування конфігурацій АР і гіганського $M1$ -резонансу та за рахунок збудження парно-парного остова даного ядра.

Література

1. С.Е.Муравьев, О.А.Румянцев, М.Г.Урин, Изв. РАН. Сер. физ. 62, 2163 (1998).
2. A.Arima, H.Horie, M.Sano, Progr. Theor. Phys., 17, 567 (1957).
3. Н.А.Бонч-Осмоловская, В.А.Морозов, М.А.Долгополов, И.В.Копытин, ЭЧАЯ 18, 739 (1987).
4. М.А.Долгополов, И.В.Копытин, Изв. АН СССР, Сер. физ. 3, 56 (1976).
5. А.Н.Водин, И.В.Ушаков, Тез. докладов 52 Совещания по ядерной спектроскопии и структуре атомного ядра. (Москва, 2002), с.114.
6. S.Maripuu, Nucl. Phys. A. 123, 357 (1969).
7. М.И.Гусева, ПТЭ 5, 112 (1957).
8. P.M.Endt, Nucl. Phys. A 521, 1 (1992).
9. M.Riihonen, J.Keinonen, A.Anttila, Nucl. Phys. A 313, 251 (1979).
10. D.A.Outlaw, G.E.Mitchell, E.G.Bilpuch, Nucl. Phys. A 269, 99 (1976).
11. A.C.Wolff, M.A.Meyer, P.M.Endt, Nucl. Phys. A 107, 332 (1968).
12. C.H.Bornman, M.A.Meyer, N.S.Wolmarans, D.Reitmann, Nucl. Phys. A 112, 231 (1968).
13. E.O.De Neijs, G.D.Haasbroek, M.A.Meyer, R.S.Rossouw and D. Reitmann, Nucl. Phys. A 254, 45 (1975).
14. М.Е.Войханский, Гамма-лучи (Изд-во АН СССР, Москва–Ленінград, 1961).
15. A.M.Lane, Nucl. Phys. 35, 676 (1962).
16. S.Hanna, In: Isospin in Nucl. Phys. (Ed. D.Wilkinson, North Holland, Amsterdam, 1969), p. 593.
17. Ю.В.Гапонов, Ю.С.Лютостанский, ЭЧАЯ 12(6), 1324 (1981).

ISOVECTOR l -FORBIDDEN MAGNETIC DIPOLE TRANSITIONS IN ^{31}P NUCLEUS

O.M.Vodin, I.V.Ushakov

NSC KIPT, Akademichna St. 1, Kharkiv, 61108
e-mail: ushakov@kipt.kharkov.ua

Experimental studies of γ -decay of isobaric analogue resonances in the $^{30}\text{Si}(\text{p},\gamma)^{31}\text{P}$ reaction is carried out at the proton energy $E_{\text{p}} = 760, 1490$ and 2010 keV. The decay schemes of the given resonances are constructed and their partial γ -widths are determined. Angular distributions of γ -radiation are measured and analyzed at the angles $\Theta_{\text{lab}} = 0, 30, 45, 60$ and 90° with respect to the direction of proton beam. On the basis of the obtained data the probabilities of $M1$ transitions to the antianalogue state and l -forbidden transitions with $\Delta T = 1$ are calculated. A conclusion is made on the mechanism of the l -prohibition breakdown due to the contribution of collective effects into the process of forming of total γ -width of the analogue resonances decay.